

ساخت ترکیب بین فلزی Ni_3Al در شرایط مختلف آلیاژسازی مکانیکی *محمدحسین عنایتی^(۱)علی سعیدی^(۲)زهره صادقیان^(۳)

چکیده مخلوط پودرهای نیکل و آلمینیم با ترکیب گلوله‌ای سیاره‌ای تحت شرایط مختلف آلیاژسازی مکانیکی شدند و تغیرات ایجاد شده در ساختار ذرات پودر بواسیله پراش پرتوایکس و میکروسکوپ الکترونی روبشی ارزیابی گردید. با آلیاژسازی مکانیکی به مدت حدود ۱۰ ساعت محلول جامد آلمینیم در نیکل تشکیل گردید. با افزایش زمان آسیاب کردن به حدود ۲۰ ساعت این ساختار به ترکیب بین فلزی Ni_3Al با ساختار نانوکریستال تبدیل گردید. کاهش نسبت وزنی گلوله‌ها به پودر و یا کاهش سرعت گردش آسیاب زمان تشکیل فاز Ni_3Al را به مقدار زیادی به تأخیر انداخت. اما کاهش اندازه گلوله‌ها (در صورتی که وزن کل آنها ثابت نگه داشته شود) تأثیر چندانی بر فرآیند آلیاژسازی مکانیکی نداشت.

واژه‌های کلیدی آلیاژسازی مکانیکی، ترکیبات بین فلزی، آلمیناید های نیکل، Ni_3Al .

Synthesis of Ni_3Al Intermetallic Compound Under Different Mechanical Alloying Conditions

M. H. Enayati

A. Saidi

Z. Sadeghian

Abstract *Ni and Al elemental powder mixture with composition $Ni_{75}Al_{25}$ were mechanically alloyed in a planetary ball mill under different conditions. The structural changes of powder particles were studied by x-ray diffractometry and scanning electron microscopy. Mechanical alloying for $\approx 10h$ resulted in a solid solution of Al in Ni which transformed to Ni_3Al intermetallic compound with nanocrystalline structure after $\approx 20h$ of milling time. Decreasing ball-to-powder weight ratio or rotation speed of mill, drastically retarded the formation of Ni_3Al phase. However, decreasing size of balls, while the balls-to-powder weight ratio remained constant, did not change mechanical alloying process significantly.*

Key Words Mechanical Alloying, Intermetallic Compounds, Nickel Aluminides, Ni_3Al .

* نسخه اولیه مقاله در تاریخ ۸۰/۱۰/۲ و نسخه نهایی آن در تاریخ ۸۱/۵/۲۶ به دفتر نشریه رسیده است.

(۱) استادیار، دانشکده مهندسی، مواد دانشگاه صنعتی اصفهان

(۲) دانشیار، دانشکده مهندسی مواد، دانشگاه صنعتی اصفهان

(۳) دانشجوی کارشناسی ارشد، دانشکده مهندسی مواد، دانشگاه صنعتی اصفهان

مخلوط پودر عناصر اولیه در آسیاب گلوله‌ای (یا میله‌ای) به مدت زمان مشخص آسیاب می‌شود. عواملی مانند نسبت وزن گلوله‌ها به وزن پودر مواد اولیه، دمای محفظه آسیاب، سرعت و مکانیزم حرکت محفظه آسیاب، و اندازه و جنس گلوله‌ها فرآیند آلیاژسازی مکانیکی را تحت تأثیر قرار می‌دهند که نهایتاً بر روی نوع و ساختار محصول نهایی تأثیر می‌گذارند [7]. عدم نیاز به دماهای بالا، تجهیزات ساده و انجام عملیات تولید در طی یک مرحله، از خصوصیات منحصر به فرد روش آلیاژسازی مکانیکی می‌باشد که می‌تواند تولید آلومینایددهای نیکل با این روش را از روش‌های تولید متداول مقرون به صرف‌تر سازد.

هدف از پروژه حاضر بررسی تولید ترکیب بین فلزی Ni_3Al تحت شرایط مختلف آلیاژسازی مکانیکی بود. به این منظور تأثیر پارامترهایی مانند سرعت گردش آسیاب، قطر گلوله‌های آن و نسبت وزنی گلوله‌ها به مخلوط پودر مواد اولیه در روند تولید Ni_3Al مطالعه گردید.

روش تحقیق

پودرنیکل با خلوص ۹۹/۹٪ و اندازه ذرات بین ۸۰–۲۸۰ میکرون و پودر آلومینیم با خلوص ۹۹/۹٪ و اندازه ذرات بین ۱۸۰–۲۶۰ میکرون به عنوان مواد اولیه انتخاب شدند. از این مواد مخلوطی حاوی ۷۵ درصد اتمی نیکل و ۲۵ درصد اتمی آلومینیم ($\text{Ni}_{75}\text{Al}_{25}$) با وزن کل ۲۰ گرم تهیه شد و مورد عملیات آلیاژسازی مکانیکی قرار گرفت. آلیاژسازی مکانیکی به کمک یک دستگاه آسیاب گلوله‌ای سیاره‌ای انجام شد. در این نوع آسیاب محفظه بر روی یک صفحه چرخان قرار دارد و با سرعتی برابر با ۱/۷ برابر سرعت صفحه در خلاف جهت چرخش صفحه می‌چرخد. جنس محفظه آسیاب و گلوله‌ها از نوع فولاد پر کرم بود. به منظور جلوگیری از اکسیداسیون ذرات پودر مواد اولیه عملیات آلیاژسازی مکانیکی تحت اتمسفر گاز آرگن انجام گردید. بدین

مقدمه

آلومینایددهای نیکل نظری Al_3Ni و NiAl از جمله مواد پیشرفت‌های هستند که از خواص مهندسی منحصر بفردی نظری وزن مخصوص پایین، مقاومت سایشی زیاد، استحکام گرم بالا، ضربه اصطکاک کم، هدایت حرارتی بالا و مقاومت به خوردگی و اکسیداسیون مناسب در دمای بالا برخوردارند [1,2]. بعلاوه این مواد اغلب نقطه ذوب بالاتری نسبت به سوپرآلیاژها دارند و همچنین به دلیل داشتن پیوندهای فلزی چقرمگی پیشتری نسبت به سرامیکها بروز می‌دهند. از این‌رو در سالهای اخیر بر روی روش‌های تولید، خواص و کاربردهای این‌گونه ترکیبات بین فلزی تحقیقات وسیعی انجام گرفته است. نتایج این تحقیقات نشان می‌دهد که آلومینایددهای نیکل برای ساخت قطعات مهندسی، پوشش دادن اجزاء و نیز به عنوان ذرات تقویت‌کننده در مواد مرکب برای کاربرد در صنایع هواپی، فضایی و خودرو مواد بسیار مناسبی می‌باشند [1,2]. مهمترین محدودیت برای استفاده از این مواد چقرمگی پایین و شکل‌پذیری کم آنها بویژه در دمای محیط است. برای غلبه بر این مشکلات راه حل‌های گوناگونی مانند کنترل ریز ساختار، کاهش اندازه دانه‌ها و اصلاح ترکیب شیمیایی پیشنهاد گردیده است [3,4]. آلومینایددهای نیکل با روش‌های مختلف مانند ذوب و ریخته گری، متالورژی پودر، ستز احتراقی و رخنه دادن (Infiltration) قابل تولید می‌باشند [3,5]. این روش‌های تولید غالباً با مشکلات متعددی همراه هستند. برای مثال روش ذوب و ریخته گری با جدایش آلومینیم و ایجاد ترکهای ریز در محصول نهایی همراه می‌باشد. بعلاوه اندازه دانه‌های محصول در این روش بسیار بزرگ می‌باشد. به همین دلیل غالباً انجام عملیات ثانویه برای دستیابی به ریزساختاری مطلوب ضروری می‌باشد. در چند سال اخیر فرآیند آلیاژسازی مکانیکی (Mechanical Alloying) نیز برای تولید این مواد مورد توجه قرار گرفته است [6]. در روش آلیاژسازی مکانیکی

XRD مربوط به نمونه قبل از عملیات آلیاژسازی مکانیکی تمامی پیکهای مورد انتظار مربوط به نیکل و آلومینیم خالص را نشان می‌دهد. با انجام عملیات آلیاژسازی مکانیکی پهنه‌ای پیکهای نیکل و آلومینیم بطور مدوام افزایش می‌یابد. افزایش پهنه‌ای پیکهای نیکل و آلومینیم در اثر تغییر شکل پلاستیکی شدید ذرات پودر می‌باشد که افزایش دانسیته نقص‌های بلوری بخصوص نابجایی‌ها را در پی دارد. این پدیده خود باعث افزایش کرنشهای الاستیک و همچنین ریزشدن اندازه دانه‌های نیکل و آلومینیم می‌گردد که هر دو منجر به افزایش پهنه‌ای پیکهای نیکل و آلومینیم می‌شود [9,10].

همان‌طور که از شکل (۱) پیداست پس از ۱۰ ساعت آلیاژسازی مکانیکی پیکهای نیکل به مقدار اندکی به زوایایی کمتر جابجا شده‌اند که نشان دهنده نفوذ آلومینیوم در نیکل و تشکیل محلول جامد آلومینیوم در نیکل می‌باشد. به دلیل بزرگتر بودن اندازه اتمی آلومینیم نسبت به اندازه اتمی نیکل، نفوذ و قرارگرفتن اتمهای آلومینیم در شبکه نیکل باعث افزایش پارامتر شبکه و جابجایی پیکهای نیکل به سمت زوایایی کمتر می‌گردد. نفوذ تدریجی آلومینیم در نیکل باعث می‌شود که پس از ۱۵ ساعت آلیاژسازی مکانیکی پیکهای آلومینیم در الگوی XRD مشاهده نشوند. نفوذ عناصر در حین فرآیند آلیاژسازی مکانیکی به دلیل افزایش شدید نقص‌های بلوری، کاهش اندازه دانه‌ها و همچنین افزایش آنسی و موضعی دمای ذرات پودر در حلال برخورد گلوله‌ها کاملاً امکانپذیر می‌باشد. [11]

در الگوی XRD پس از ۲۰ ساعت آلیاژسازی مکانیکی، پیکهای جدیدی در مجاورت پیکهای نیکل ولی در زوایایی کمتر مشاهده می‌شوند.

برای این زمان پیکهای جدید با پیکهای نیکل به مقدار زیادی تداخل دارند اما با افزایش زمان آلیاژسازی مکانیکی به ۴۰ ساعت، پیکهای نیکل کاملاً حذف می‌شوند به طوری که تنها پیکهای جدید

منظور گاز آرگن توسط شیرهایی که روی در محفظه آسیاب تعییه شده بودند، به محفظه وارد می‌گردید. عملیات آلیاژسازی مکانیکی در دمای محیط صورت گرفت اگرچه در حین فرآیند افزایش ناچیزی (۱۰-۱۵°C) در دمای محفظه آسیاب مشاهده گردید. به منظور بررسی تأثیر پارامترهای مختلف بر فرآیند تشکیل ترکیب بین فلزی Ni₇₅Al₂₅ آلیاژسازی مکانیکی تحت چهار شرایط مختلف انجام شد. این شرط‌ها در جدول (۱) خلاصه شده‌اند. برای ارزیابی تغییرات ایجاد شده در ساختار داخلی ذرات پودر و نحوه تشکیل ترکیب بین فلزی Ni₇₅Al₂₅ در فواصل زمانی معین از پودر داخل محفظه نمونه‌برداری شد و نمونه‌ها توسط پراش پرتو ایکس (XRD) و میکروسکوب الکترونی رویشی (SEM) مطالعه شدند. آزمایش‌های XRD در دستگاه Philips مدل X'PERT-MPD تحت ولتاژ ۴۰KV و شدت جریان ۳۰mA با استفاده از اشعه تکرنگ CuK α (λ = 1.54 Å) و با اندازه گام ۰/۰۳ درجه انجام شد. اندازه دانه‌ای محصول نهایی از روی الگوهای XRD و با کمک رابطه شر $B = \frac{0.9\lambda}{t \cos \theta}$ تخمین زده شد [8]. در این رابطه B پهنه‌ای بلندترین پیک در نیمه ارتفاع آن بر حسب رادیان، λ طول موج پرتوایکس بر حسب نانومتر، t قطردانه‌ها بر حسب نانومتر و θ زاویه تفرق بلندترین پیک می‌باشد. میکروسکوب الکترونی رویشی مورد استفاده برای بررسی سطح مقطع ذرات پودر از نوع Philips مدل XL30 بود.

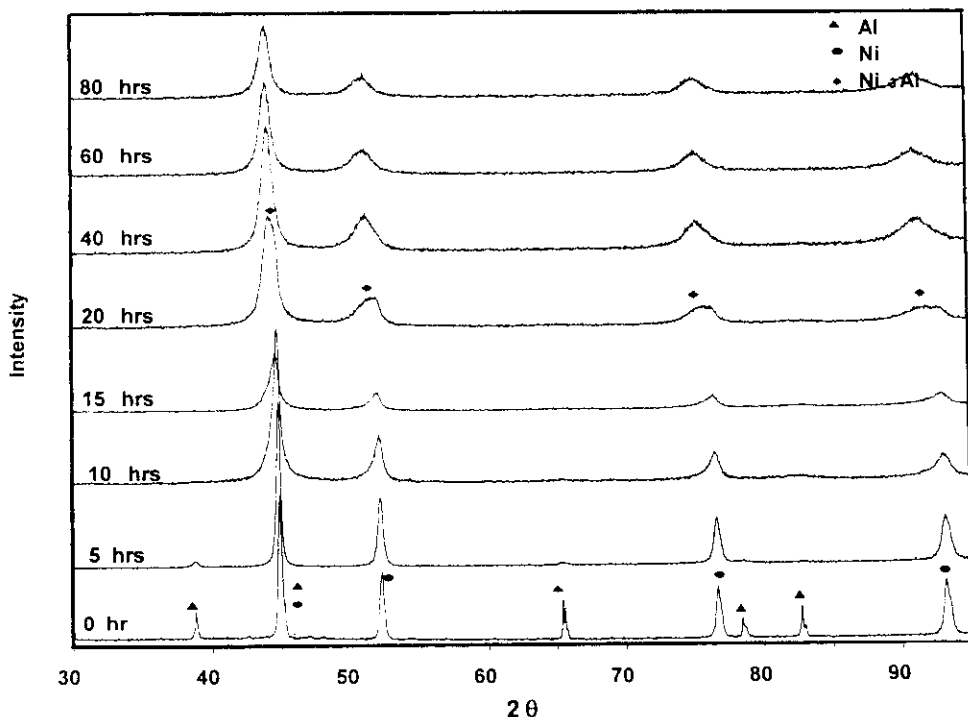
نتایج و بحث

در این بخش ابتدا نتایج بدست آمده برای نمونه شماره (۱) ارائه می‌گردد و سپس پارامترهای مختلف مورد بحث قرار می‌گیرد.

تغییرات ساختار داخلی ذرات پودر. شکل (۱) الگوهای XRD از ذرات پودر Ni₇₅Al₂₅ پس از زمانهای مختلف آلیاژسازی مکانیکی را نشان می‌دهد. الگوی

جدول ۱ شرایط مختلف آلیازسازی مکانیکی

کد نمونه	سرعت گردش صفحه آسیاب (دور بر دقیقه)	نسبت وزنی گلوله‌ها به پودر	وزن پودر مواد اولیه (گرم)	تعداد گلوله‌ها	قطر گلوله‌ها (سانتیمتر)
۱	۰.۳۹۰	۷/۵	۲۰	۴	۲
۲	۱۹۰	۷/۵	۲۰	۴	۲
۳	۳۹۰	۲/۲۰	۱۰	۴	۲
۴	۳۹۰	۷/۵	۲۰	۲۲	۱

شکل ۱ الگوهای پراش اشعه ایکس از ذرات پودر $Ni_{75}Al_{25}$ پس از زمانهای مختلف آلیازسازی مکانیکی (نمونه ۱)

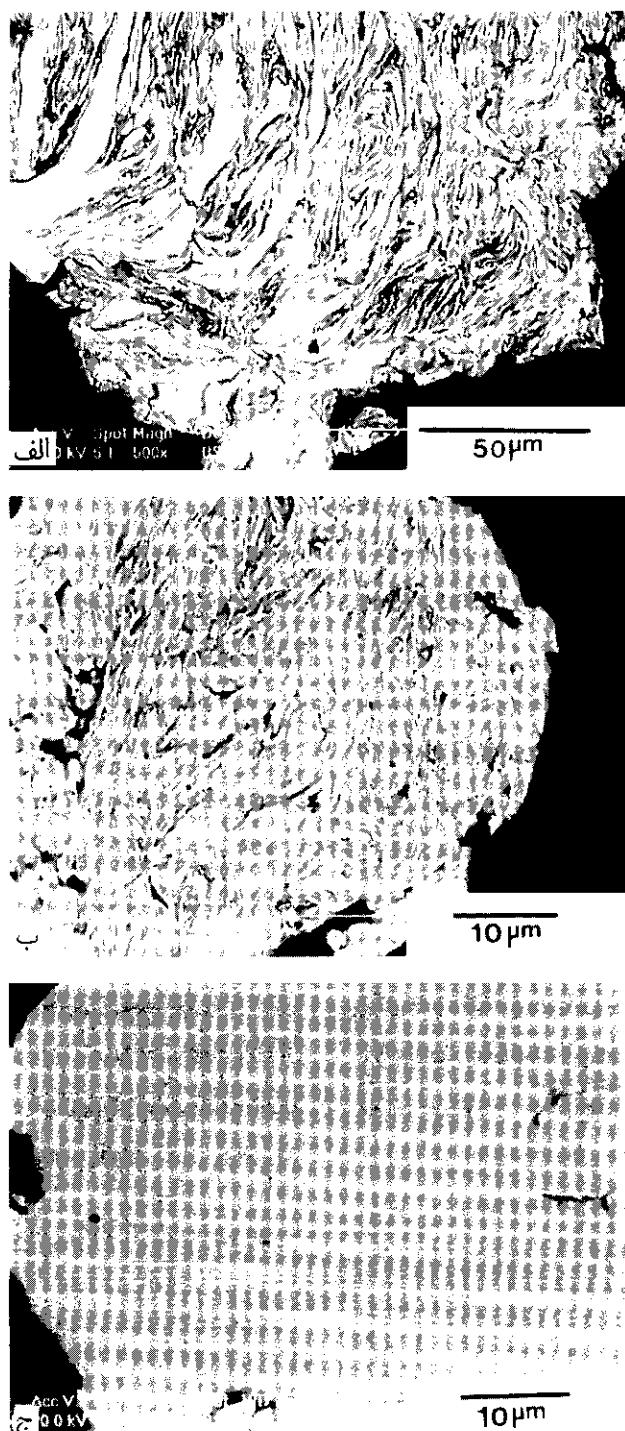
انرژی آزاد کل سیستم را کاهش دهنده. به این ترتیب آلیاژسازی مکانیکی منجر به ریزشدن اندازه دانه ها تا حد نانومتر می گردد [9,10]. ریز شدن دانه ها خود منجر به افزایش پهنه ای پیکهای XRD می گردد بطوری که با استفاده از رابطه شرور می توان اندازه دانه های ماده را از روی پهنه ای پیکهای XRD آن بدست آورد. در این تحقیق اندازه دانه های Ni_3Al پس از ۸۰ ساعت آلیاژسازی مکانیکی با استفاده از رابطه شرور تعیین و در حدود ۱۰ نانومتر تخمین زده شد. این ساختار بسیار ریز باعث می شود که عملیات بعدی نظیر فشردن و تفت جوشی ذرات پودر Ni_3Al تسهیل گردد و مهمتر از آن، قطعه نهایی از مشخصات مکانیکی بهتری نظیر چرمگی و استحکام بیشتر برخوردار باشد.

تعییرات ریز ساختار فرات پودر. شکل (۲) ساختمان میکروسکوپی سطح مقطع ذرات پودر $Ni_{75}Al_{25}$ پس از زمانهای مختلف آلیاژسازی مکانیکی را نشان می دهد. بعد از گذشت ۵ ساعت از عملیات آلیاژسازی مکانیکی ساختمانی لایه ای متشکل از لایه های متناوب نیکل و الومینیم با ضخامت کاملاً غیر یکنواخت تشکیل می شود. با افزایش زمان عملیات به ۱۰ ساعت ضخامت لایه ها کمتر و یکنواختی ضخامت ذرات پودر صورت می گیرد. در عملیات آلیاژسازی مکانیکی مجموعه ای از ذرات پودر بین دو گلوله به دام افتد و در اثر ضربه گلوله ها تعییر شکل زیادی را متحمل شده و روی هم پهن می شوند. در اثر این عمل پوسته اکسیدی سطح ذرات شکسته شده و سطح آزاد فلز زیرین آزاد می شود و در نتیجه اتصال فلز- فلز بین ذرات مختلف پودر ایجاد گشته و اصطلاحاً "جوش سرد" بین آنها بوجود می آید. با ادامه فرآیند آلیاژسازی

در الگوی XRD مشاهده می گردد. با مقایسه شدت نسبی و زاویه تفرق این پیکها با مقادیر مندرج در کارتھای ASTM و فایلهای JCPDS، مشخص شد که پیکهای جدید ناشی از تشکیل ترکیب بین فلزی Ni_3Al می باشد. ادامه عملیات آلیاژسازی مکانیکی تغییر عمده ای در الگوی XRD ایجاد نمی کند و باعث افزایش ناچیزی در پهنه ای پیکهای Ni_3Al می گردد. شایان ذکر است که در مورد برخی از سیستمهای آلیاژی نظریه $-Ni$ -Nb و $Ni-Zr$ آلیاژسازی مکانیکی منجر به تشکیل فاز آمورف می گردد. اما این پدیده در حین آلیاژسازی مکانیکی ترکیب Ni_3Al_{25} مشاهده نگردید زیرا حضور فاز آمورف می باشد در الگوهای XRD ایجاد یک پیک پهن (halo) در زوایای پایین بین اولین پیک مربوط به نیکل و الومینیم کند. لازم به توضیح است که برای اطمینان از تشکیل فاز Ni_3Al نمونه هایی از پودر پس از ۴۰، ۶۰ و ۸۰ ساعت آلیاژسازی مکانیکی در دمای $550^{\circ}C$ به مدت ۲۰ دقیقه عملیات حرارتی گردید و تغییری در الگوهای XRD مشاهده نگردید که مؤید این موضوع می باشد که ساختار بدست آمده در حین آلیاژسازی مکانیکی، فاز پایدار Ni_3Al می باشد و احتمال تشکیل فازهای شبیه پایدار دیگری وجود ندارد. به این ترتیب مراحل تشکیل ترکیب بین فلزی Ni_3Al از مخلوط عناصر اولیه نیکل و الومینیم در حین آلیاژسازی مکانیکی به صورت زیر پیشنهاد می گردد:

$Ni+Al$ - ۲۰ ساعت (محلول جامد) - $10 Ni_3Al$ - ۱۰ ساعت (محلول جامد)

همان طور که اشاره گردید کار سرد انجام شده برروی ذرات پودر در حین آلیاژسازی مکانیکی باعث افزایش شدید دانسته نابجایی می گردد که در اثر افزایش درجه حرارت ذرات پودر نابجایی ها بتدریج آرایش جدید به صورت مرز دانه بخود می گیرند تا

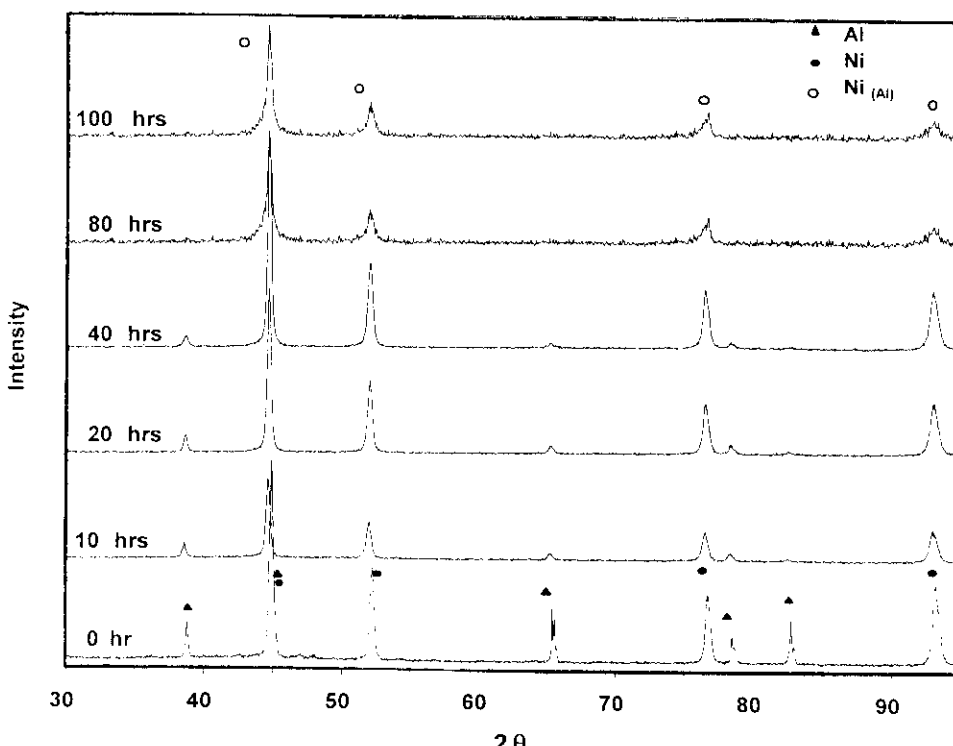


شکل ۲ تصاویر SEM از سطح مقطع ذرات پودر پس از
الف) ۵ ساعت، ب) ۱۰ ساعت و ج) ۵۰ ساعت آبیازسازی مکانیکی

این ساختار در توافق با نتایج XRD شکل (۱) می‌باشد که نشان می‌دهد پس از ۵۰ ساعت آلیاژسازی مکانیکی نیکل و آلومینیم اولیه تماماً مصرف شده و تبدیل به ترکیب بین فلزی Ni_3Al می‌شوند.

تأثیر سرعت گردش آسیاب. به منظور بررسی نقش سرعت گردش آسیاب بر فرآیند تشکیل ترکیب بین فلزی Ni_3Al , آلیاژسازی مکانیکی ترکیب $\text{Ni}_{75}\text{Al}_{25}$ با کاهش سرعت گردش آسیاب از ۳۹۰ دور بر دقیقه به نصف این مقدار تکرار گردید (نمونه ۲). شکل (۳) نتیجه تشکیل فاز Ni_3Al را تسهیل می‌سازد. در تصویر SEM از ذرات پودر پس از ۵۰ ساعت آلیاژسازی مکانیکی هیچگونه ساختار لایه‌ای مشاهده نمی‌شود.

مکانیکی و افزایش میزان کار سرد سختی ذرات پودر افزایش یافته و در اثر ضربه ناشی از گلوله‌ها شکست ذرات پودر نیز اتفاق می‌افتد. تکرار این دو پدیده یعنی اتصال و شکست ذرات پودر در حین آلیاژسازی مکانیکی منجر به تشکیل ساختار لایه‌ای می‌گردد که به مرور زمان لایه‌ها باریک‌تر می‌شوند. در چنین ساختار لایه‌ای ریز، فصل مشترک گستره‌ای بین نیکل و آلومینیم فراهم می‌باشد و افزون براین فاصله نفوذ نیز بسیار کوتاه است. این دو عامل واکنش Ni و Al و در نتیجه تشکیل فاز Ni_3Al را تسهیل می‌سازد. در تصویر SEM از ذرات پودر پس از ۵۰ ساعت آلیاژسازی مکانیکی هیچگونه ساختار لایه‌ای مشاهده نمی‌شود.

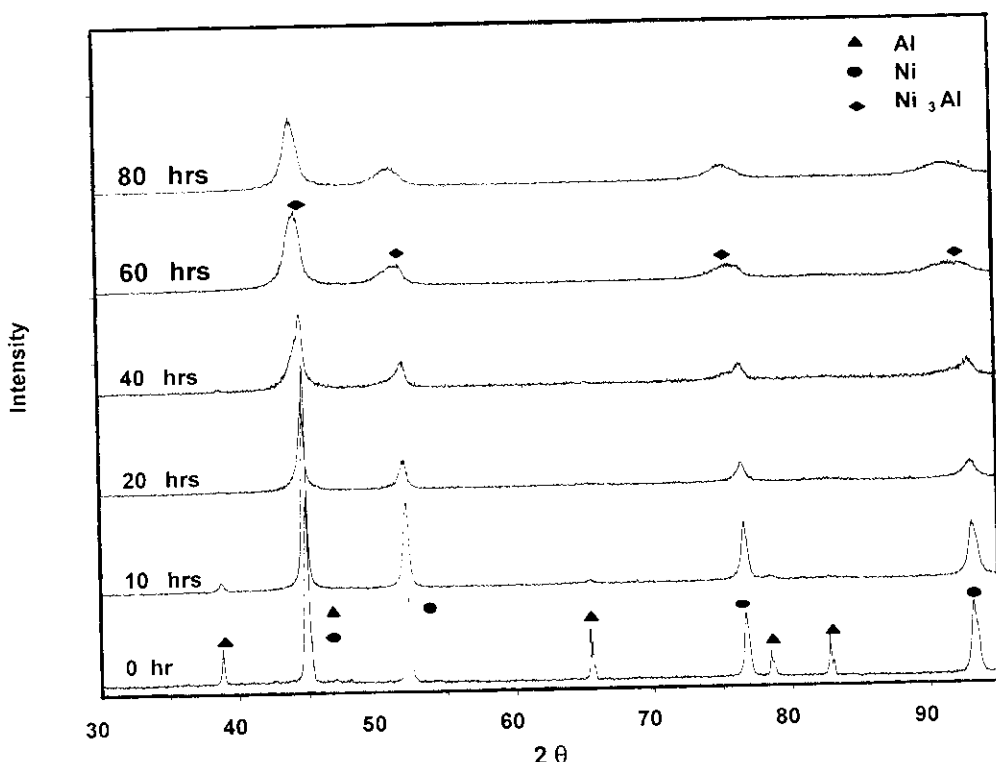


شکل ۳ الگوهای پراش اشعه ایکس از ذرات پودر $\text{Ni}_{75}\text{Al}_{25}$ پس از زمانهای مختلف آلیاژسازی مکانیکی (نمونه ۲)

ترتیب میزان تغییر شکل پلاستیکی ذرات پودر و در نتیجه میزان افزایش دانسته نقص‌های بلوری و کاهش اندازه دانه‌ها کمتر می‌گردد. همه این عوامل میزان نفوذ عناصر در شرایط آلیاژسازی مکانیکی را کاهش می‌دهد که در نهایت می‌تواند باعث عدم تشکیل فاز Ni_3Al گردد.

تأثیر نسبت وزنی گلوله‌های پودر. در نمونه ۳ مقدار پودر مواد اولیه و در نتیجه نسبت وزنی گلوله‌ها به پودر به نصف میزان آن در نمونه ۱ کاهش یافت. شکل (۴) الگوهای XRD از نمونه ۳ پس از زمانهای مختلف آلیاژسازی مکانیکی را نشان می‌دهد. مقایسه

مقایسه این الگوها با الگوهای ارائه شده در شکل (۱) نشان می‌دهد که میزان افزایش پهنای پیکهای نیکل و آلومنیم پس از زمانهای یکسان آلیاژسازی مکانیکی در شرایطی که سرعت گردش آسیاب به نصف کاهش یافته، کمتر است. بعلاوه این شرایط آلیاژسازی مکانیکی تنها منجر به تشکیل محلول جامد آلومنیم در نیکل می‌گردد به طوری که حتی پس از ۱۰۰ ساعت تنها پیکهای محلول جامد در الگوی XRD وجود دارد و اثری از حضور ترکیب بین فلزی Ni_3Al مشاهده نمی‌شود. این نتایج ناشی از این واقعیت است که با کاهش سرعت گردش آسیاب ارزی جنبشی گلوله‌ها در هنگام برخورد به ذرات پودر کاهش می‌یابد [12]. به این

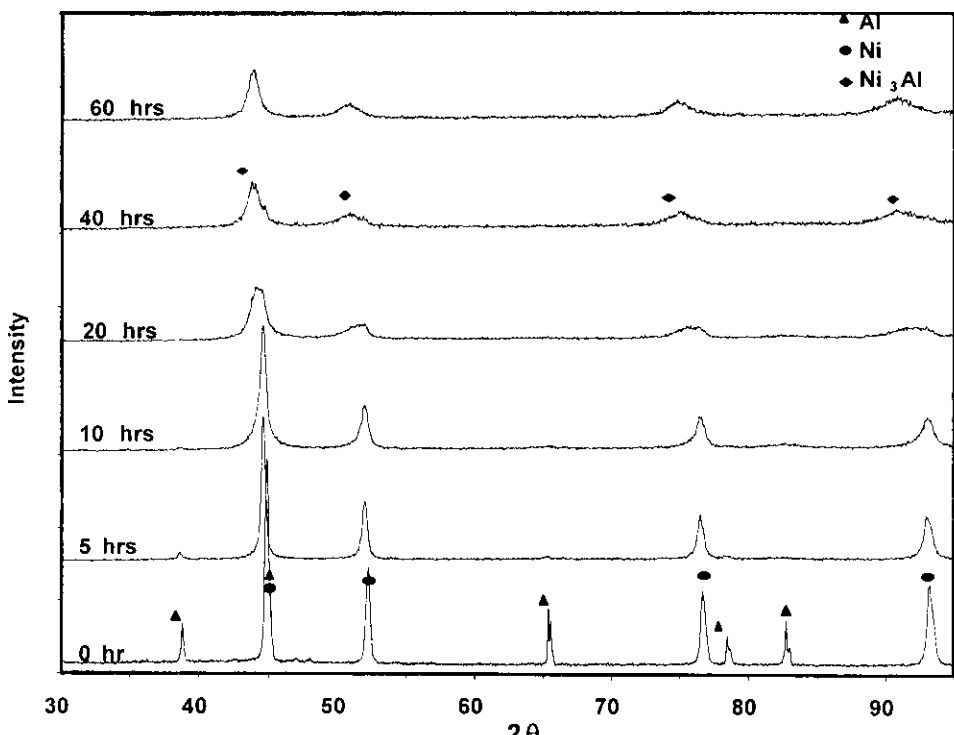


شکل ۴ الگوهای پراش اشعه ایکس از ذرات پودر $\text{Ni}_{75}\text{Al}_{25}$ پس از زمانهای مختلف آلیاژسازی مکانیکی (نمونه ۳)

(۵) الگوهای XRD از نمونه ۴ پس از زمانهای مختلف آلیاژسازی مکانیکی نشان داده شده است. این نتایج نشان می‌دهد که کاهش اندازه گلوله‌ها به نصف و افزایش تعداد آنها تا ۸ برابر در حالی که وزن کل گلوله‌ها ثابت نگه داشته شود تأثیر قابل ملاحظه‌ای بر فرآیند آلیاژسازی مکانیکی ندارد بهطوری که زمان تشکیل فاز Al_3Ni از حدود ۲۰ ساعت به حدود ۶۰ ساعت افزایش می‌یابد. با کاهش نسبت وزن گلوله‌ها به پودر مواد اولیه مقدار انرژی جنبشی گلوله‌ها که در هنگام برخورد به واحد جرم پودر مواد اولیه منتقل می‌شود، کاهش می‌یابد که این بنویه خود سرعت فرآیندهایی را که در حین آلیاژسازی مکانیکی رخ می‌دهد، کند می‌سازد [13].

الگوهای XRD در شکلهای (۱۰۴) در زمانهای یکسان آلیاژسازی مکانیکی نشان می‌دهد که با کاهش نسبت وزنی گلوله‌ها به پودر سرعت افزایش پهنای پیکهای نیکل و آلمونیوم کاهش می‌یابد. افزون براین، زمان تشکیل فاز Al_3Ni از حدود ۲۰ ساعت به حدود ۶۰ ساعت افزایش می‌یابد. با کاهش نسبت وزنی گلوله‌ها به پودر مواد اولیه مقدار انرژی جنبشی گلوله‌ها که در هنگام برخورد به واحد جرم پودر مواد اولیه منتقل می‌شود، کاهش می‌یابد که این بنویه خود سرعت فرآیندهایی را که در حین آلیاژسازی مکانیکی رخ می‌دهد، کند می‌سازد [13].

تأثیر تعداد گلوله‌ها. برای مطالعه تأثیر تعداد گلوله‌ها نمونه ۴ با گلوله‌هایی با قطر ۱ سانتیمتر آلیاژسازی مکانیکی شد و برای ثابت نگهداشت وزن کل گلوله‌ها تعداد آنها به ۳۲ عدد افزایش یافت. در شکل



شکل ۵ الگوهای پراش اشعه ایکس از ذرات پودر $\text{Ni}_{75}\text{Al}_{25}$ پس از زمانهای مختلف آلیاژسازی مکانیکی (نمونه ۴)

فرآیند آلیاژسازی مکانیکی کاهش می‌یابد به طوری که حتی پس از ۱۰۰ ساعت فاز Ni_3Al تشکیل نمی‌شود.

۴- کاهش نسبت وزنی گلوله‌ها به پودر باعث کاهش سرعت فرآیند آلیاژسازی مکانیکی می‌گردد و زمان تشکیل فاز Ni_3Al از حدود ۲۰ ساعت به حدود ۶۰ ساعت افزایش می‌یابد.

۵- کاهش اندازه گلوله‌های آسیاب (با ثابت نگهداشت نسبت وزنی گلوله‌ها به پودر) در سرعت فرآیند آلیاژسازی مکانیکی تغییر قابل ملاحظه‌ای ایجاد نمی‌کند.

قدردانی

بدینوسیله از معاونت پژوهشی دانشگاه صنعتی اصفهان برای تأمین هزینه‌های این تحقیق سپاسگزاری می‌شود.

مکانیکی را دنبال دارد. عملکرد معکوس و همزمان این عوامل باعث می‌شود که افزایش تعداد گلوله‌ها، در صورتی که وزن کل آنها ثابت باقی بماند، بر فرآیند آلیاژسازی تأثیر قابل ملاحظه‌ای نداشته باشد.

نتیجه‌گیری

۱- آلیاژسازی مخلوط پودر نیکل و آلمینیوم با ترکیب $\text{Ni}_{75}\text{Al}_{25}$ ابتدا منجر به تشکیل ساختاری لایه‌ای از نیکل و آلمینیوم می‌گردد که ضخامت لایه‌ها با افزایش زمان آلیاژسازی مکانیکی بتدریج کاهش می‌یابد.

۲- پس از حدود ۱۰ ساعت آلیاژسازی مکانیکی، محلول جامد آلمینیوم در نیکل بدست می‌آید که با افزایش زمان به حدود ۲۰ ساعت این محلول به ترکیب بین فلزی Al با ساختار نانوکریستال تبدیل می‌گردد.

۳- با کاهش سرعت گردش آسیاب به نصف سرعت

مراجع

1. Stoloff, N. S., and Liu, C. T., "Emerging applications of intermetallics", *Intermetallics*, Vol. 8, pp. 1313-1320, (2000).
2. Stoloff, N. S. "Physical and mechanical metallurgy of Ni_3Al and its alloys", *International Materials Reviews*, Vol. 34, No. 4, pp. 153-183, (1989).
3. Liu, C. T., and Pope, D. P., "*Intermetallic compound: practice*", Vol. 2, John Wiley, New York, pp. 17-47, (2000).
4. Westbrook, J. H., and Fleischer, R. L., "*Intermetallic compound: structural application*", Vol. 3, John Wiley, New York, (2000).
5. Sanmarchi, C., and Mortensen, A., "Reactive infiltration processing of aluminum-nickel intermetallic compound", *Metallurgical and Materials Transactions A*, Vol. 29 A, pp. 2819-2828, (1998).

6. Calka, A., "Mechanical Alloying: Technology and properties of prepared materials", *Key Engineering Materials*, Vol. 81-83, pp. 17-24, (1993).
7. Koch, C. C., and Whittenberger, J. D., "Mechanical milling/alloying of intermetallics, *Intermetallics*, Vol. 4, pp. 339-355, (1996).
8. Cullity, B. D., "Element of X-ray diffraction", 2nd ed., Addison-Wesley, Notre Dame, p. 102, (1978).
9. Koch, C. C., "The synthesis and structure of nanocrystalline, materials produced by mechanical attrition", *Nanostructured Materials*, Vol 2, pp. 109-129, (1993).
10. Fecht, H. J., Helstern, E., Fu, Z., and Johnson, W. L., "Nanocrystalline metals prepared by high-energy ball milling", *Metallurgical Transactions A*, Vol. 21A, pp. 2333-2337, (1990).
11. Bhattacharya, A. K., and Arzt, E., "Plastic deformation and its influence on diffusion process during mechanical alloying", *Scripta Metallurgica et Materialia*, Vol. 28, pp. 3895-400, (1993).
12. Abdellaui, M., and Gaffet, E., "The physics of mechanical alloying in a planetary ball mill: mathematical treatment", *Acta Metallurgica et Materialia*, Vol. 43, N°. 3, pp. 1087-1098, (1995).
13. Suryanarayana, C., Chen, G., and Fores, F. H., "Milling maps for phase identification during mechanical alloying", *Scripta Metallurgica et Materialia*, Vol. 26, pp. 1727-1732, (1992).